

Supplementary Material for Neira et al.

FIGURE 1: DOSY curves for the methyl region of SAMp73 at 0M and 1 M GdmCl, at 298 K (pH 7.0).

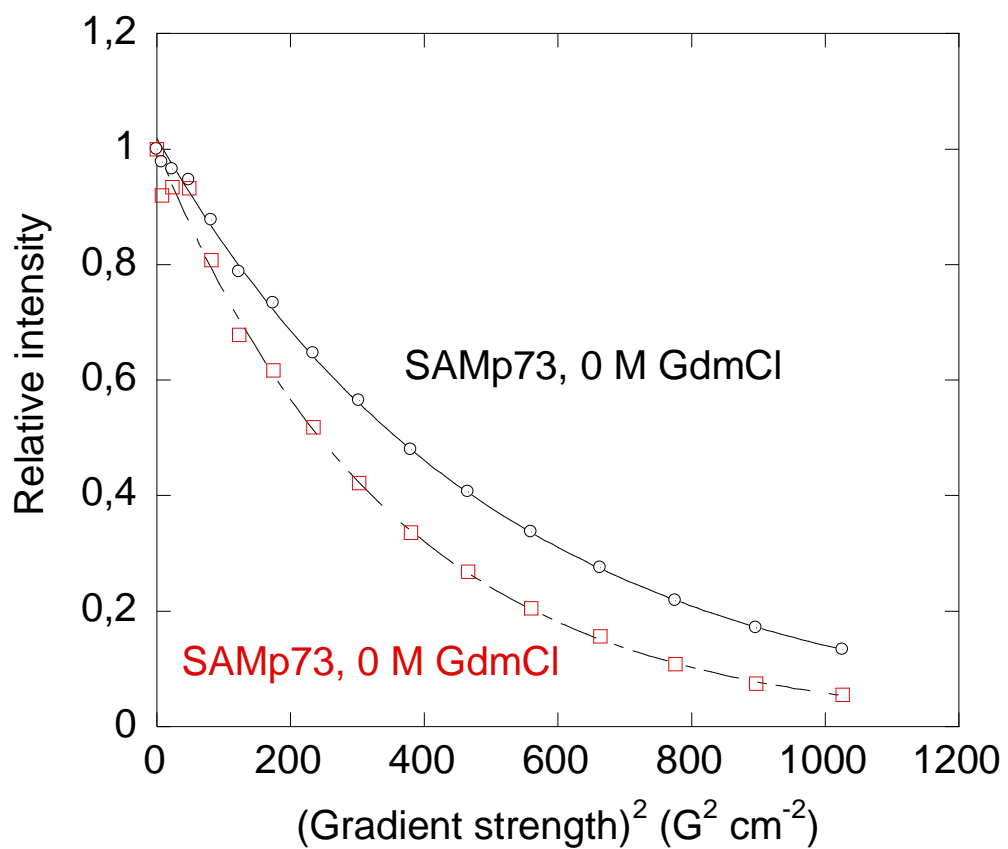
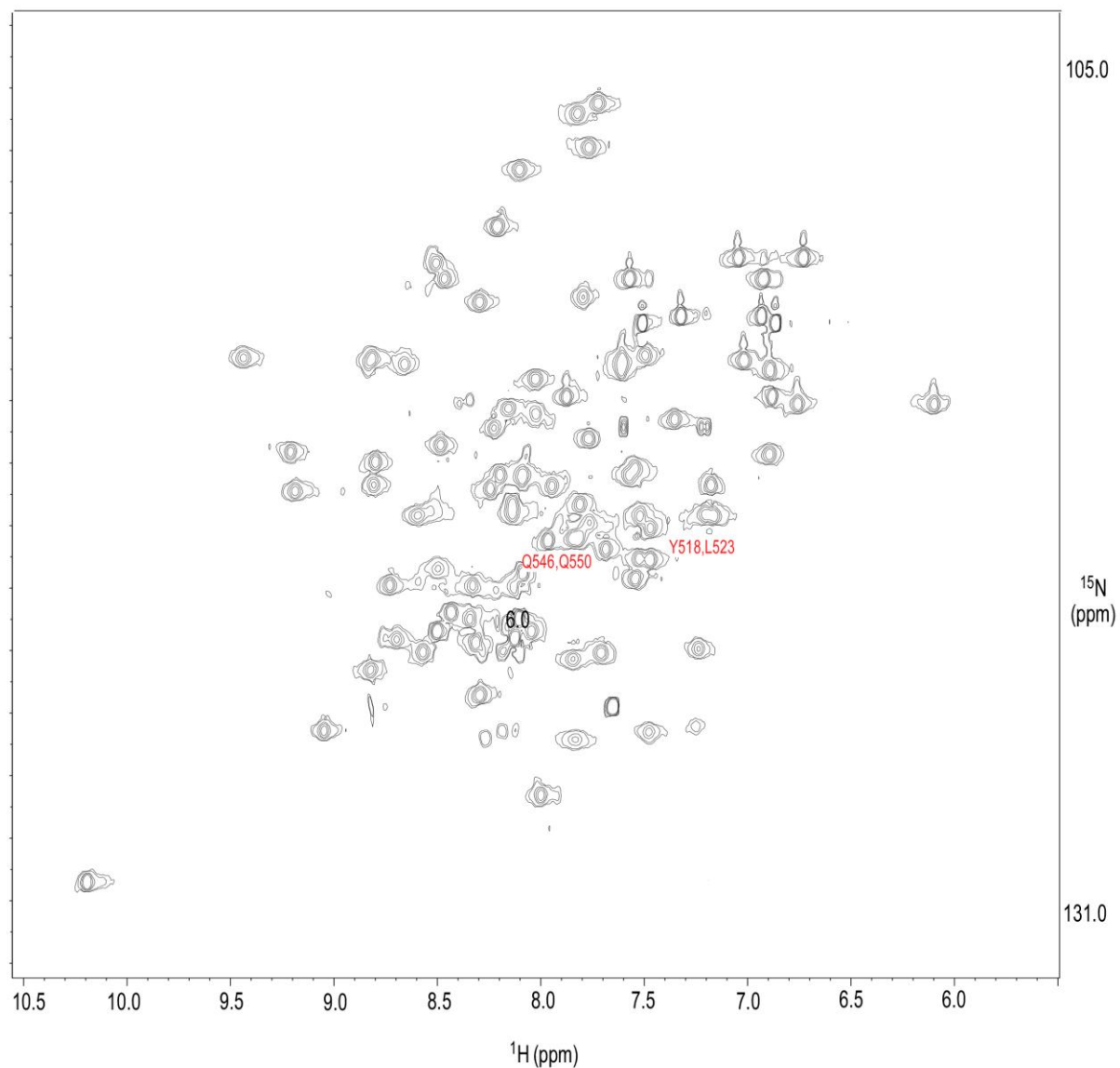


FIGURE 2: HSQC spectrum of SAMp73, at 0 M GdmCl, pH 7.0 and 298 K. The residues whose signals overlap under any of the explored conditions are indicated.



TABLES

Table 1: Experimental relaxation parameters, the reduced spectral density functions and the model-free parameters of SAMp73 at pH 7.0 and 298 K.

Residue	R_1 (s^{-1}) ^a	R_2 (s^{-1}) ^a	η_{xy} (s^{-1}) ^a	R_2^0 (s^{-1}) ^b	NOE ^c	$J(0)$ (ns) rad ⁻¹) ^b	$J(\omega_N)$ (ns) rad ⁻¹) ^b	$J(0.87\omega_H)$ (ps) rad ⁻¹) ^b	$S^2 (S_f^2)$ ^d	R_{ex} (s^{-1}) ^d	τ_e (ns) ^d
Y487	2.04±0.04	7.89±0.24	3.64±0.07	5.49±0.75	0.32±0.03	2.13±0.21	0.38±0.037	21.32±2.07	0.20±0.01	5.80±0.26	2.52±0.01
H488	2.09±0.06	10.01±0.18	6.37±0.34	9.61±1.39	0.67±0.06	2.80±0.27	0.41±0.040	10.51±1.00	0.87±0.02	1.30±0.31	0.08±0.06
A489	2.05±0.03	8.36±0.24	4.20±0.20	6.34±0.91	0.48±0.05	2.28±0.25	0.39±0.043	16.56±1.78	0.82±0.01		0.18±0.003
D490	2.31±0.06	10.77±0.21	5.57±0.02	8.40±1.17	0.73±0.06	3.01 ±0.26	0.46±0.041	9.66±0.86	0.99±0.01	0.78±0.33	
P491											
S492	2.56±0.08	13.18±0.40	6.00±0.15	9.05±1.24	0.75±0.03	3.72±0.25	0.51±0.028	9.85±0.54	0.71±0.09	4.41±0.54	6.85±1.41
L493	2.58±0.13	10.02±0.19	7.10±0.20	10.71±1.47	0.89±0.11	2.73±0.31	0.53±0.078	4.27±0.57	0.74±0.14	1.21±0.80	6.85±2.13
V494	2.37±0.07	10.16±0.30	4.96±0.24	7.48±1.07	0.73±0.07	2.81±0.26	0.47±0.042	9.77±0.77	0.99±0.01		
S495	2.44±0.09	10.58±0.21	6.60±0.30	9.95±1.41	0.72±0.06	2.92±0.25	0.49±0.044	10.52±0.95	0.83±0.09	1.62±0.59	2.97±2.16
F496	2.52±0.13	10.56±0.31	6.80±0.20	10.26±1.43	0.83±0.07	2.91±0.33	0.51±0.052	6.43±0.65	0.98±0.01		

L497	2.46±0.08	10.82±0.13	6.56±0.17	9.89±1.36	0.75±0.03	3.00±0.15	0.49±0.027	9.49±0.52	0.83±0.08	1.66±0.39	4.71±1.99
T498	2.54±0.95	10.56±0.22	6.20±0.30	9.35±1.34	0.84±0.06	2.91±0.28	0.52±0.045	6.28±0.54	0.78±0.10	1.54±0.52	6.85±2.01
G499	2.59±0.09	10.29±0.14	6.45±0.20	9.73±1.75	0.74±0.05	2.81±0.24	0.52±0.045	10.39±0.89	0.67±0.10	1.71±0.50	6.30±1.56
L500	2.28±0.06	9.75±0.14	7.53±0.06	11.36±1.53	0.76±0.05	2.70±0.25	0.46±0.036	8.41±0.66	0.97±0.01		
G501	2.43±0.07	10.52±0.16	6.10±0.20	9.20±1.27	0.72±0.05	2.91±0.21	0.48±0.039	10.49±0.85	0.84±0.09	1.53±0.54	2.86±1.95
C502	2.26±0.05	9.51±0.13	6.30±0.08	9.50±1.29	0.68±0.05	2.62±0.26	0.45±0.035	10.92±0.86	0.96±0.01		
P503											
N504	2.37±0.08	9.85±0.18	6.20±0.20	9.35±1.30	0.79±0.05	2.71±0.25	0.48±0.038	7.46±0.59	0.99±0.01		
C505	2.36±0.09	10.21±0.11	6.50±0.20	9.80±1.35	0.71±0.05	2.82±0.25	0.47±0.036	10.39±0.82	0.99±0.02	0.31±0.22	
I506	2.33±0.06	9.18±0.20	6.64±0.16	10.02±1.37	0.66±0.05	2.50±0.26	0.45±0.035	12.13±0.97	0.91±0.03		1.01±0.8
E507	1.62±0.23	6.98±0.37	4.46±0.06	6.73±0.91	0.42±0.04	1.92±0.28	0.31±0.032	14.42±1.49	0.68±0.03		0.17±0.08
Y508	2.28±0.05	10.09±0.17	6.80±0.10	10.26±1.39	0.77±0.05	2.80±0.26	0.46±0.038	7.99±0.59	0.99±0.01		
F509	2.51±0.08	9.80±0.67	3.10±0.40	4.67±0.87	0.74±0.05	2.67±0.28	0.50±0.041	9.93±0.81	0.99±0.01		
T510	2.68±0.09	11.36±0.39	6.20±0.20	9.35±1.29	0.65±0.07	3.13±0.31	0.53±0.059	14.22±1.57	0.53±0.10	3.98±0.73	3.59±1.37
S511	2.35±0.09	11.88±0.26	6.19±0.27	9.34±1.32	0.69±0.05	3.35±0.32	0.47±0.042	11.16±0.99	0.99±0.02	1.79±0.46	
Q512	2.40±0.07	11.39±0.23	6.11±0.06	9.21±1.24	0.50±0.03	3.18±0.23	0.46±0.038	18.52±1.29	0.60±0.08	4.08±0.53	1.78±0.30

G513	2.41±0.08	9.88±0.17	6.30±0.20	9.50±1.31	0.72±0.05	2.71±0.27	0.48±0.039	10.13±0.83	0.99±0.08		
L514	2.44±0.07	10.39±0.23	6.99±0.20	10.54±1.45	0.77±0.05	2.87±0.20	0.49±0.031	8.64±0.69	0.99±0.01		
Q515	2.57±0.11	10.12±0.26	7.38±0.24	11.13±1.54	0.72±0.05	2.76±0.23	0.51±0.04	10.85±0.94	0.70±0.11	1.65±0.67	4.53±1.55
S516	2.24±0.05	9.85±0.20	5.61±0.16	8.46±1.16	0.64±0.05	2.73±0.27	0.44±0.040	12.44±1.11	0.91±0.03	0.80±0.31	0.21±0.29
I517	1.63±0.03	4.32±0.09	1.75±0.07	2.64±0.37	0.04±0.03	1.03±0.81	0.29±0.089	24.48±20.34	0.46±0.02		0.96±0.05
									(0.76±0.015)		
Y518											1.18±0.32
H519	2.33±0.09	10.14±0.18	6.21±0.20	9.37±1.30	0.71±0.06	2.80±0.21	0.47±0.043	10.27±0.94	0.99±0.01		
L520	2.54±0.08	11.32±0.16	6.76±0.12	10.20±1.39	0.52±0.05	3.13±0.30	0.49±0.048	18.87±1.82	0.52±0.10	4.56±0.63	2.17±0.22
Q521	2.09±0.03	9.37±0.20	6.70±0.10	10.11±1.37	0.70±0.05	2.60±0.20	0.42±0.031	9.53±0.71	0.91±0.01		
N522	1.66±0.47	5.56±0.44	2.38±0.08	3.59±0.05	0.10±0.06	1.46±0.86	0.30±0.18	23.01±13.51	0.53±0.06		0.35±0.09
L523											
T524	2.23±0.05	9.65±0.17	5.60±0.30	8.44±1.22	0.71±0.06	2.67±0.24	0.44±0.039	10.06±0.89	0.96±0.01		
I525	2.46±0.08	9.63±0.23	5.50±0.40	8.30±1.27	0.78±0.08	2.63±0.29	0.49±0.054	8.09±0.87	0.86±0.04		6.85±2.10
E526	2.02±0.04	8.51±0.30	3.22±0.19	4.85±0.71	0.65±0.05	2.34±0.21	0.40±0.034	10.79±0.93	0.84±0.02		0.07±0.03
D527	1.94±0.06	7.17±0.38	5.44±0.13	8.20±1.12	0.39±0.02	1.93±0.16	0.37±0.023	18.16±1.16	0.44±0.01	2.63±0.35	0.034±0.00

L528	2.34 ± 0.06	11.11 ± 0.23	7.39 ± 0.31	11.15 ± 1.57	0.75 ± 0.06	3.11 ± 0.26	0.47 ± 0.039	8.78 ± 0.73	0.99 ± 0.01	0.77 ± 0.32
G529	2.35 ± 0.08	10.25 ± 0.27	6.40 ± 0.20	9.65 ± 1.33	0.87 ± 0.05	2.85 ± 0.22	0.48 ± 0.035	4.55 ± 0.33	0.99 ± 0.01	
A530	2.35 ± 0.06	12.51 ± 0.31	7.00 ± 0.30	10.56 ± 1.49	0.77 ± 0.05	3.55 ± 0.28	0.47 ± 0.036	8.19 ± 0.62	0.99 ± 0.02	2.48 ± 0.35
L531	2.31 ± 0.06	10.11 ± 0.14	6.70 ± 0.12	10.11 ± 1.38	0.75 ± 0.04	2.80 ± 0.18	0.46 ± 0.029	8.70 ± 0.55	0.99 ± 0.08	
K532	2.43 ± 0.09	16.90 ± 0.35	7.30 ± 0.80	11.01 ± 1.91	0.77 ± 0.07	4.92 ± 0.56	0.49 ± 0.050	8.56 ± 0.85	0.99 ± 0.02	6.17 ± 0.52
I533	2.33 ± 0.12	7.96 ± 0.56	6.96 ± 0.19	10.50 ± 1.44	0.72 ± 0.09	2.15 ± 0.30	0.51 ± 0.05	10.85 ± 2.15	0.70 ± 0.09	6.85 ± 2.75
										(0.91 ± 0.09)
P534										
E535	2.43 ± 0.05	10.22 ± 0.16	6.30 ± 0.20	9.50 ± 1.31	0.70 ± 0.06	2.81 ± 0.25	0.48 ± 0.043	11.24 ± 1.03	0.83 ± 0.08	1.41 ± 0.57
Q536	2.43 ± 0.05	10.45 ± 0.19	6.00 ± 0.20	9.05 ± 1.26	0.72 ± 0.05	2.89 ± 0.25	0.49 ± 0.038	10.41 ± 0.82	0.82 ± 0.07	1.42 ± 0.53
Y537	2.42 ± 0.11	10.47 ± 0.15	6.84 ± 0.22	10.32 ± 1.43	0.68 ± 0.06	2.89 ± 0.28	0.48 ± 0.044	11.82 ± 1.15	0.78 ± 0.10	1.75 ± 0.65
R538	2.44 ± 0.07	10.12 ± 0.14	6.78 ± 0.37	10.23 ± 1.49	0.73 ± 0.06	2.78 ± 0.25	0.49 ± 0.043	10.13 ± 0.89	0.99 ± 0.07	
M539	2.61 ± 0.09	14.09 ± 0.30	7.40 ± 0.50	11.16 ± 1.68	0.83 ± 0.07	4.01 ± 0.39	0.53 ± 0.051	6.56 ± 0.63	0.67 ± 0.09	5.48 ± 0.64
T540	2.16 ± 0.03	7.62 ± 0.29	6.43 ± 0.16	9.70 ± 1.33	0.52 ± 0.04	2.03 ± 0.17	0.42 ± 0.031	16.02 ± 0.19	0.75 ± 0.03	1.26 ± 0.25
										(0.94 ± 0.02)

I541	1.82±0.11	5.83±0.55	3.15±0.11	4.75±0.66	0.51±0.25	1.53±0.76	0.35±0.17	13.72±6.72	0.66±0.12	2.13±1.60	
W542	2.35±0.08	9.71±0.28	5.6±0.30	8.45±1.22	0.68±0.06	2.67±0.27	0.47±0.046	11.33±1.11	0.99±0.01		
R543	2.47±0.94	10.46±0.15	7.00±0.30	10.56±1.50	0.87±0.06	2.89±0.25	0.50±0.044	4.89±0.42	0.99±0.21	1.46±0.56	6.85±3.02
G544	2.42±0.07	10.52±0.11	6.60±0.20	9.95±1.38	0.76±0.05	2.91±0.22	0.49±0.037	8.97±0.67	0.87±0.08	1.12±0.47	4.87±2.15
L545	2.50±0.08	10.42±0.20	6.99±0.13	10.54±1.43	0.72±0.06	2.87±0.27	0.50±0.047	10.61±0.99	0.78±0.10	1.70±0.58	3.61±1.93
Q546											
D547	2.08±0.06	8.39±0.36	4.42±0.23	6.67±0.96	0.45±0.03	2.29±0.22	0.40±0.034	17.74±1.53	0.82±0.01	0.22±0.14	
L548	2.37±0.15	8.95±0.63	7.12±0.57	10.74±1.68	0.51±0.08	2.42±0.31	0.50±0.052	13.72±1.52	0.32±0.15	8.95±0.03	
K549	2.37±0.11	8.27±0.39	6.71±0.22	10.12±1.40	0.60±0.05	2.23±0.25	0.49±0.053	11.66±1.10	0.75±0.07	6.85±2.35	
									(0.93±0.04)		
Q550											
G551	1.86±0.03	6.29±0.34	2.88±0.08	4.34±0.59	0.20±0.04	1.65±0.33	0.36±0.068	23.15±4.56	0.65±0.04	0.73±0.16	
									(0.87±0.02)		
H552	1.79±0.03	6.51±0.35	3.17±0.47	4.78±0.65	0.06±0.04	1.73±0.25	0.32 ±0.04	36.48±26.53	0.63±0.02	0.19±0.02	
D553	1.45±0.03	4.51±0.12	2.04±0.53	3.08±0.90	0.13±0.05	1.16±0.41	0.26±0.094	19.50±6.93	0.59±0.03	0.80±0.01	
									(0.68±0.01)		

Y554	1.13±0.01	2.96±0.05	1.57±0.04	2.37±0.32	0.22±0.02	0.73±0.07	0.21±0.021	13.71±1.74	0.46±0.01	1.27±0.04
	(0.50±0.01)									
W542	1.85±0.03	8.74±0.23	4.03±0.10	6.08±0.83	0.65±0.04	2.45±0.17	0.37±0.024	10.02±0.67		
(NH)										

^aErrors are fitting errors to the corresponding equations (see Materials and Methods).

^bErrors are determined by error propagation ³⁶.

^cErrors are determined by the noise level from two different experiments.

^dErrors are from Monte Carlo simulations.

Table 2: Experimental relaxation parameters, the reduced spectral density functions and the model-free parameters of SAMp73 at pH 7.0 and 288 K

Residue	R_1 (s^{-1}) ^a	R_2 (s^{-1}) ^a	NOE ^b	$J(0)$ (ns) rad^{-1} ^c	$J(\omega_N)$ (ns) rad^{-1} ^c	$J(0.87\omega_H)$ (ps rad^{-1}) ^c	S^2 (S_f^2) ^d	R_{ex} (s^{-1}) ^d	τ_e (ns) ^d
Y487	1.99±0.09	6.63±0.55	0.43±0.15	1.77±1.50	0.57±0.43	17.48±8.22	0.20±0.01	5.80±0.24	2.51±0.12
H488	1.92±0.01	7.34±0.08	0.63±0.10	1.99±0.15	0.38±0.06	10.99±1.90	0.87±0.03	1.30±0.34	0.08±0.05
A489	1.94±0.04	5.82±0.21	0.65±0.32	1.51±0.75	0.38±0.19	10.54±5.24	0.82±0.01		0.18±0.04
D490	2.35±0.05	6.96±0.16	0.65±0.10	1.80±0.15	0.47±0.07	12.41±1.99	0.99±0.01	0.78±0.32	
P491									
S492	2.72±0.10	10.30±0.44	0.79±0.07	2.80±0.34	0.55±0.07	8.77±0.91	0.71±0.09	4.41±0.54	6.85±1.37
L493	1.59±0.06	4.32±0.31	0.75±0.15	1.10±0.97	0.32±0.28	6.15±5.43	0.99±0.01		
V494	2.43±0.06	7.73±0.15	0.78±0.20	2.04±0.85	0.45±0.20	8.09±3.39	0.99±0.01		
S495	2.68±0.08	7.31±0.08	0.93±0.13	1.87±0.28	0.55±0.08	2.76±0.41	0.83±0.09	1.62±0.56	2.97±2.02
F496	2.73±0.08	8.64±0.37	0.74±0.18	2.27±1.17	0.55±0.28	10.93±5.65	0.99±0.02		
L497	2.35±0.04	7.74±0.31	0.74±0.05	2.05±0.16	0.47±0.03	9.20±0.63	0.83±0.08	1.68±0.38	4.71±1.96

T498	1.91±0.08	2.49±0.23	0.87±0.17	5.53±0.21	0.51±0.18	3.57±0.21	0.78±0.10	1.53±0.56	6.85±1.94
G499	2.80±0.10	7.66±0.13	0.77±0.10	1.95±0.26	0.57±0.07	9.72±1.31	0.67±0.10	1.71±0.48	6.36±1.48
L500	2.64±0.08	7.26±0.33	0.75±0.10	1.84±0.26	0.53±0.07	9.90±1.31	0.97±0.01		
G501	2.62±0.09	8.42±0.09	0.72±0.08	2.22±0.25	0.52±0.06	11.22±1.30	0.84±0.08	1.53±0.51	2.86±1.91
C502	2.47±0.07	7.49±0.08	0.77±0.09	1.94±0.26	0.49±0.07	8.65±1.31	0.96±0.01		
P503									
N504	2.50±0.06	6.77±0.12	0.83±0.07	1.73±0.26	0.52±0.07	6.43±0.65	0.99±0.01		
C505	2.60±0.09	6.35±0.08	0.96±0.12	1.58±0.22	0.54±0.07	1.52±0.21	0.99±0.02	0.27±0.20	
I506	2.58±0.07	7.25±0.12	0.73±0.09	1.86±0.24	0.52±0.06	10.70±1.38	0.90±0.03		1.01±0.68
E507	1.39±0.05	3.85±0.22	0.46±0.16	0.97±0.57	0.27±0.21	11.54±9.01	0.68±0.04		0.33±0.08
Y508	2.21±0.04	3.81±0.12	0.81±0.16	1.16±0.88	0.85±0.08	6.37±0.03	0.99±0.01		
F509	1.93±0.04	44.3±7.76	0.76±0.23	1.36±0.24	0.41±0.18	9.93±1.83	0.99±0.02		
T510	2.79±0.08	7.20±0.26	0.63±0.10	1.82±0.65	0.58±0.02	16.03±0.15	0.52±0.10	3.98±0.79	3.59±1.44
S511	2.59±0.09	6.13±0.29	0.74±0.05	1.54±0.68	0.58±0.02	9.93±0.15	0.99±0.02	1.79±0.45	
Q512	2.59±0.08	7.36±0.08	0.93±0.10	1.90±0.22	0.54±0.06	2.60±0.30	0.60±0.08	4.08±0.51	1.78±0.28
G513	2.60±0.08	6.98±0.15	0.77±0.12	1.77±0.29	0.52±0.08	9.03±1.49	0.99±0.02		

L514	2.59 ± 0.09	7.70 ± 0.15	0.82 ± 0.11	2.00 ± 0.28	0.53 ± 0.07	6.92 ± 0.99	0.99 ± 0.02		
Q515	2.41 ± 0.23	4.71 ± 0.30	0.76 ± 0.06	1.12 ± 1.03	0.54 ± 0.39	8.97 ± 0.67	0.70 ± 0.12	1.65 ± 0.62	4.53 ± 1.73
S516	2.59 ± 0.06	7.01 ± 0.10	0.72 ± 0.11	1.78 ± 0.28	0.52 ± 0.08	10.93 ± 1.74	0.91 ± 0.03	0.80 ± 0.31	0.34 ± 0.21
I517	0.74 ± 0.04	0.69 ± 0.07	0.77 ± 0.14	0.17 ± 0.09	0.27 ± 0.15	9.03 ± 1.40	0.46 ± 0.02 (0.76 ± 0.01)		0.96 ± 0.06
Y518									
H519	2.72 ± 0.12	2.94 ± 0.25	0.76 ± 0.25	0.54 ± 0.20	0.65 ± 0.24	8.97 ± 3.02	0.99 ± 0.01		
L520	2.64 ± 0.08	7.97 ± 0.18	0.62 ± 0.11	2.07 ± 0.37	0.52 ± 0.09	15.59 ± 2.82	0.52 ± 0.09	4.56 ± 0.60	2.17 ± 0.31
Q521	1.46 ± 0.03	4.78 ± 0.09	0.75 ± 0.15	1.28 ± 0.26	0.31 ± 0.06	8.99 ± 1.15	0.91 ± 0.01		
N522	0.60 ± 0.05	0.76 ± 0.11	0.76 ± 0.12	0.16 ± 0.14	0.13 ± 0.08	8.97 ± 0.95	0.53 ± 0.06		0.38 ± 0.09
L523									
T524	2.51 ± 0.07	6.91 ± 0.12	0.74 ± 0.11	1.76 ± 0.26	0.51 ± 0.07	10.02 ± 1.51	0.96 ± 0.01		
I525	1.93 ± 0.17	5.88 ± 0.14	0.94 ± 0.16	1.54 ± 0.27	0.40 ± 0.07	1.71 ± 0.30	0.86 ± 0.04		6.85 ± 2.16
E526	2.11 ± 0.02	5.14 ± 0.19	0.70 ± 0.11	1.27 ± 0.25	0.42 ± 0.06	9.57 ± 1.51	0.84 ± 0.16		0.07 ± 0.03
D527	1.90 ± 0.01	4.93 ± 0.16	0.60 ± 0.05	1.23 ± 0.24	0.38 ± 0.03	11.66 ± 1.10	0.44 ± 0.17	2.63 ± 0.44	0.033 ± 0.003
L528	2.61 ± 0.09	8.57 ± 0.18	0.78 ± 0.10	2.27 ± 0.32	0.53 ± 0.07	8.89 ± 1.26	0.99 ± 0.01	0.77 ± 0.34	
G529	2.65 ± 0.08	7.40 ± 0.15	0.82 ± 0.11	1.90 ± 0.27	0.54 ± 0.07	7.15 ± 1.00	0.99 ± 0.01		

A530	1.31 ± 0.02	3.38 ± 0.19	0.67 ± 0.05	0.85 ± 0.08	0.26 ± 0.02	6.54 ± 0.52	0.10 ± 0.05		
L531	2.63 ± 0.13	1.81 ± 0.19	0.77 ± 0.05	0.22 ± 0.13	0.66 ± 0.38	8.79 ± 0.62	0.10 ± 0.05		
K532	2.74 ± 0.11	18.63 ± 0.31	0.77 ± 0.13	5.38 ± 1.04	0.555 ± 0.22	8.79 ± 0.93	0.99 ± 0.02		
I533	2.71 ± 0.08	5.06 ± 0.12	1.39 ± 0.32	1.18 ± 0.28	0.59 ± 0.14		0.70 ± 0.10 (0.91 ± 0.10)		6.85 ± 2.75
P534									
E535	2.56 ± 0.07	7.42 ± 0.08	0.76 ± 0.10	1.91 ± 0.26	0.51 ± 0.07	9.54 ± 1.30	0.83 ± 0.07	1.41 ± 0.51	2.46 ± 1.70
Q536	2.63 ± 0.07	7.80 ± 0.14	0.74 ± 0.09	2.02 ± 0.25	0.53 ± 0.06	10.41 ± 1.51	0.81 ± 0.06	1.42 ± 0.46	3.17 ± 1.73
Y537	2.79 ± 0.11	8.90 ± 0.84	0.87 ± 0.30	2.35 ± 0.85	0.57 ± 0.20	5.38 ± 1.38	0.78 ± 0.11	1.75 ± 0.66	2.54 ± 1.73
R538	2.18 ± 0.09	8.66 ± 0.96	0.74 ± 0.15	2.40 ± 2.16	0.43 ± 0.04	8.70 ± 0.10	0.05 ± 0.01		
M539	2.47 ± 0.07	8.20 ± 0.21	0.76 ± 0.06	2.18 ± 0.19	0.49 ± 0.04	8.80 ± 0.77	0.67 ± 0.10	5.48 ± 0.62	6.85 ± 1.68
T540	2.08 ± 0.21	3.91 ± 0.12	0.37 ± 0.14	0.87 ± 0.33	3.95 ± 1.50	20.20 ± 7.68	0.75 ± 0.04 (0.94 ± 0.19)		2.52 ± 1.26
I541	1.90 ± 0.06	5.43 ± 0.13	0.66 ± 0.12	1.39 ± 0.90	3.78 ± 1.53	9.85 ± 8.53	0.66 ± 0.11 (0.77 ± 0.09)		2.27 ± 1.60
W542	2.27 ± 0.04	6.81 ± 0.42	0.52 ± 0.20	1.76 ± 0.81	0.44 ± 0.20	16.85 ± 7.67	0.99 ± 0.01		
R543	2.71 ± 0.09	8.25 ± 0.17	0.85 ± 0.13	2.16 ± 0.36	0.55 ± 0.09	6.16 ± 1.03	0.99 ± 0.22	1.82 ± 0.56	3.05 ± 0.05
G544	2.57 ± 0.09	3.75 ± 0.23	0.74 ± 0.09	0.87 ± 0.28	0.51 ± 0.21	10.13 ± 8.34	0.87 ± 0.07	1.12 ± 0.38	4.87 ± 2.16
L545	2.11 ± 0.12	3.50 ± 0.28	0.70 ± 0.15	1.26 ± 0.13	0.42 ± 0.28	9.53 ± 0.33	0.78 ± 0.09	1.70 ± 0.57	3.61 ± 1.88

Q546

D547	2.60±0.07	5.59±0.13	0.48±0.17	1.35±0.21	0.50±0.08	20.61±0.89	0.82±0.01	0.22±0.18
L548	2.66±0.09	9.44±0.12	0.58±0.06	2.52±0.30	0.52±0.06	17.13±2.05	0.010±0.005	8.95±0.15
K549	2.73±0.10	3.66±0.18	1.66±0.74	0.75±0.25	0.62±0.20	28.43±9.35	0.74±0.08 (0.93±0.04)	6.85±2.33
Q550								
G551	2.07±0.13	5.33±0.10	0.30±0.07	1.32±0.32	0.38±0.09	22.43±5.45	0.65±0.05 (0.87±0.06)	0.74±0.18
H552	2.51±0.06	7.09±0.83	0.63±0.23	1.81±0.70	0.49±0.18	14.21±5.29	0.63±0.02	0.19±0.01
D553	1.52±0.05	2.03±0.05	0.34±0.15	0.39±0.07	0.28±0.05	15.53±6.18	0.59±0.03 (0.68±0.01)	0.80±0.01
Y554	1.27±0.01	2.49±0.08	0.15±0.04	0.56±0.17	0.23±0.17	16.64±4.93	0.46±0.01 (0.49±0.01)	1.27±0.04
W542 (NH)	1.97±0.02	5.89±0.37	0.72±0.08	1.78±0.19	0.46±0.04	8.46±0.93		

^aErrors are fitting errors to the corresponding equations (see Materials and Methods).

^bErrors are determined by the noise level from two different experiments.

^cErrors are determined by error propagation ³⁶.

^dErrors are from Monte Carlo simulations.

Table 3: Experimental relaxation parameters, the reduced spectral density functions and the model-free parameters of SAMp73 at pH 7.0 and 308 K

Residue	R_1 (s ⁻¹)	R_2 (s ⁻¹)	NOE	$J(0)$ (ns rad ⁻¹)	$J(\omega_N)$ (ns rad ⁻¹)	$J(0.87\omega_H)$ (ps rad ⁻¹)	$S^2 (S_f^2)$	R_{ex} (s ⁻¹)	τ_e (ns)
Y487	3.72±0.83	10.31±2.07	0.52±0.06	2.60±0.85	0.72±0.18	27.24±7.01	0.01±0.05	10.31±2.34	0.03±0.01
H488	2.70±0.11	5.75±0.07	0.65±0.11	1.35±0.24	0.53±0.09	14.31±2.54	0.99±0.02	0.25±0.20	
A489	2.36±0.18	7.21±0.48	0.58±0.04	1.86±0.28	0.46±0.05	15.23±1.55	0.88±0.06	1.63±0.62	
D490	2.59±0.06	5.41±0.13	0.62±0.10	1.26±0.22	0.51±0.08	15.10±2.61	0.90±0.02	1.07±0.16	
P491									
S492	3.27±0.39	12.18±0.45	0.48±0.08	3.26±0.66	0.63±0.13	26.03±5.38	0.90±0.12	6.47±0.66	2.68±1.25
L493	3.34±0.54	8.47±0.55	0.63±0.02	2.10±0.02	0.66±0.04	18.88±2.04	0.99±0.08	4.08±0.68	1.04±0.01
V494	3.23±0.26	10.97±1.07	0.23±0.02	2.87±0.42	0.59±0.06	38.32±4.25	0.27±0.16	6.47±1.22	2.68±0.75
S495	2.88±0.11	6.65±0.15	0.67±0.10	1.61±0.26	0.57±0.09	14.63±2.34	0.97±0.01		
F496	2.86±0.11	5.89±0.09	0.84±0.08	1.38±0.15	0.58±0.06	7.05±0.77	0.99±0.02	0.23±0.17	2.68±1.19
L497	2.99±0.12	6.97±0.16	0.68±0.09	1.69±0.24	0.59±0.08	14.53±2.03	0.99±0.01		
T498	3.15±0.35	17.95±1.53	0.19±0.01	5.05±0.83	0.58±0.08	39.53±5.56	0.21±0.14	13.74±1.69	2.68±0.61

G499	3.21±0.14	10.93±0.58	0.44±0.01	2.88±0.12	0.61±0.03	27.32±1.08	0.90±0.10	4.78±0.72	2.68±1.23
L500	2.77±0.13	9.98±0.44	0.33±0.01	2.65±0.20	0.52±0.01	28.63±1.54	0.59±0.12	5.16±0.53	2.68±0.94
G501	2.78±0.15	6.81±0.19	0.56±0.02	1.67±0.81	0.54±0.06	18.93±3.45	0.82±0.04		2.23±1.01
C502	2.66±0.05	6.23±0.14	0.48±0.02	1.50±0.21	0.51±0.08	21.39±2.15	0.88±0.03		0.41±0.36
P503									
N504	2.90±0.09	6.14±0.09	0.76±0.11	1.45±0.21	0.58±0.08	10.53±1.56	0.96±0.06(1.00±0.05)		2.68±1.12
C505	2.73±0.11	9.08±0.25	0.34±0.08	2.37±0.62	0.51±0.13	27.73±7.29	0.50±0.16	3.87±0.66	2.68±0.90
I506	2.64±0.13	9.16±0.32	0.36±0.09	2.48±0.62	0.50±0.12	25.59±6.95	0.94±0.04	4.23±0.40	
E507	2.08±0.08	4.69±0.96	0.44±0.09	1.11±0.24	0.40±0.08	17.79±3.79	0.77±0.03		
Y508	2.80±0.12	8.72±0.38	0.62±0.01	2.26±0.99	0.55±0.06	16.44±5.01	0.99±0.03	2.70±0.47	
F509	2.80±0.14	7.89±0.34	0.47±0.01	2.00±0.88	0.53±0.06	22.88±4.54	0.99±0.04	2.96±0.38	
T510	3.28±0.20	6.67±0.12	0.61±0.06	1.54±0.42	0.64±0.10	19.77±4.18	0.99±0.12	2.11±0.24	2.68±1.17
S511	2.58±0.10	5.06±0.08	0.73±0.15	1.16±0.24	0.51±0.10	10.41±2.17	0.95±0.13		
Q512	2.77±0.11	6.48±0.13	0.60±0.02	1.57±0.88	0.54±0.08	16.86±5.45	1.00±0.02	0.600±0.16	1.81±1.23
G513	3.14±0.42	10.00±0.71	0.39±0.15	2.59±2.18	0.59±0.37	29.31±18.53	0.99±0.09	4.29±1.11	
L514	3.39±0.37	24.12±2.21	0.28±0.06	6.96±6.63	0.63±0.60	37.38±29.31	0.54±0.16	20.08±2.18	2.68±0.84

Q515	3.05±0.11	7.04±0.18	0.62±0.12	1.70±0.34	0.60±0.12	17.71±3.60	0.99±0.10	1.82±0.28	2.68±1.16
S516	2.80±0.08	7.31±0.17	0.70±0.10	1.83±0.28	0.55±0.08	12.81±2.05	0.99±0.01		
I517	1.55±0.17	2.81±0.10	0.37±0.03	0.61±0.09	0.29±0.04	15.10±2.22	0.42±0.01		0.27±0.03
Y518									
H519	3.20±0.23	16.04±1.09	0.29±0.15	4.47±0.05	0.60±0.05	35.03±2.93	0.99±0.04	4.88±0.77	
L520									
Q521	2.84±0.11	11.65±0.74	0.46±0.08	3.16±0.62	0.54±0.10	23.78±4.43	0.99±0.02		
N522	2.18±0.41	4.37±0.40	0.62±0.05	1.56±0.83	0.66±0.44	19.68±12.33	1.25±0.26 (0.67±0.06)		2.68±1.18
L523									
T524	2.53±0.11	7.06±0.15	0.52±0.09	1.79±0.33	0.49±0.09	18.44±3.42	0.93±0.04	0.95±0.29	
I525	3.39±0.38	11.35±1.75	0.39±0.04	2.98±0.65	0.64±0.10	31.66±4.95	0.81±0.09	6.09±1.64	2.68±1.21
E526	2.19±0.06	7.05±0.51	0.17±0.01	1.82±0.19	0.40±0.03	28.04±2.24	0.69±0.18	2.96±0.51	0.14±0.02
D527	2.43±0.07	6.06±0.13	0.78±0.08	1.50±0.16	0.49±0.05	8.23±0.90	0.90±0.01		
L528	2.80±0.14	8.74±0.32	0.53±0.08	2.27±0.39	0.54±0.09	20.18±3.39	0.99±0.03	2.68±0.44	
G529	2.91±0.10	7.66±0.21	0.47±0.05	1.91±0.28	0.56±0.06	23.61±2.74	0.99±0.03	2.55±0.25	1.06±0.21
A530	1.07±0.13	3.90±0.17	0.86±0.08	1.04±0.16	0.21±0.03	2.21±0.33	1.45±0.47 (0.42±0.03)		2.68±0.99

L531	3.06±0.17	15.61±0.93	0.19±0.01	4.37±0.47	0.56±0.05	38.14±3.46	0.26±0.21	11.68±1.10	2.68±0.91
K532	2.82±0.15	12.05±0.23	0.55±0.02	3.30±0.86	0.55±0.06	19.59±4.50	0.99±0.03	6.40±0.27	1.21±0.99
I533	3.34±0.44	3.52 ±0.09	0.90±0.06	0.57±0.15	0.68±0.05	5.00±1.49	1.56±0.57 (0.63±0.03)		2.68±1.07
P534									
E535	2.98±0.17	11.51±0.39	0.32±0.01	3.10±0.25	0.56±0.04	31.49±2.37	0.40±0.13	6.27±0.75	2.68±0.76
Q536	3.04±0.12	6.93±0.22	0.63±0.14	1.67±0.40	0.60±0.14	17.14±4.09	0.99±0.03	0.57±0.42	2.14±1.20
Y537	2.61±0.27	6.61±0.09	0.53±0.17	1.63±0.29	0.50±0.19	18.93±3.27	0.99±0.06	0.46±0.30	
R538									
M539	2.99±0.12	7.83±0.17	0.69±0.11	1.96±0.34	0.59±0.10	14.09±2.47	0.99±0.06	1.62±0.29	
T540	2.99±0.19	6.80±0.40	0.54±0.12	1.63±0.40	0.58±0.14	21.31±5.13	0.99±0.02	1.35±0.51	
I541	1.88±0.16	6.61±0.59	0.34±0.05	1.74±0.35	0.35±0.06	19.10±3.41	0.61±0.05	2.35±0.67	0.06±0.02
W542	3.13±0.30	6.60±0.26	0.74±0.12	1.56±0.31	0.62±0.12	12.10±2.42	0.98±0.03		
R543	2.89±0.11	5.93±0.08	0.74±0.09	1.38±0.19	0.58±0.08	11.41±1.61	0.96±0.12		
G544	3.11±0.14	17.11±0.83	0.17±0.01	4.81±0.45	0.57±0.04	39.81±3.14	0.68±0.21	12.26±0.97	0.95±0.77
L545	3.15±0.57	5.44±0.53	0.68±0.12	1.18±0.32	0.62±0.15	15.45±3.90	0.70±0.06		
Q546									

D547	2.36±0.04	3.96±0.18	0.42±0.09	0.84±0.18	0.45±0.09	21.02±4.47	0.80±0.12		
L548	2.88±0.10	6.84±0.19	0.59±0.05	1.66±0.18	0.56±0.05	17.95±1.85	0.99±0.02	0.44±0.27	
K549	2.78±0.15	7.94±0.27	0.56±0.06	2.03±0.27	0.54±0.07	18.61±2.43	0.97±0.04	1.50±0.45	
Q550									
G551	1.83±0.04	5.64±0.21	0.16±0.01	1.44±0.14	0.33±0.03	23.81±21.51	0.56±0.01	2.86±0.22	0.064±0.004
H552	1.47±0.10	4.38±0.17	0.78±0.28	1.13±0.16	0.30±0.04	8.23±5.08	1.60±0.72 (0.50±0.35)		2.68±0.60
D553	1.76±0.04	4.82±0.08	0.75±0.13	1.22±0.22	0.35±0.06	6.61±1.19	0.65±0.01		
Y554	0.98±0.02	6.43±0.29	0.34±0.06	1.84±0.34	0.18±0.03	10.06±1.80	0.31±0.07	4.76±0.29	0.012±0.003
W542 (NH)	2.24±0.13	10.50±0.38	0.34±0.07	3.42±0.65	0.49±0.09	22.61±5.02			

^aErrors are fitting errors to the corresponding equations (see Materials and Methods).

^bErrors are determined by the noise level from two different experiments.

^cErrors are determined by error propagation ³⁶.

^dErrors are from Monte Carlo simulations.

Table 4: Experimental relaxation parameters, the reduced spectral density functions and the model-free parameters of SAMp73 at pH 7.0 and 313 K

Residue	R_1 (s^{-1}) ^a	R_2 (s^{-1}) ^a	NOE ^b	$J(0)$ (ns) rad^{-1}) ^c	$J(\omega_N)$ (ns) rad^{-1}) ^c	$J(0.87\omega_H)$ (ps) rad^{-1}) ^c	$S^2 (S_f^2)$ ^c	R_{ex} (s^{-1}) ^d	τ_e (ns) ^d	C_p (J mol^{-1} K^{-1}) ^{a,e}
Y487	2.18±0.35	3.03±1.05	0.54±0.05	0.59±0.58	0.40±0.35	15.54±14.83	0.21±0.02	3.11±1.32	0.21±0.01	
H488	3.10±0.09	5.17±0.07	0.61±0.04	1.10±0.09	0.61±0.05	18.63±1.32	0.98±0.02	0.20±0.12	0.63±0.20	
A489										
D490	2.69±0.05	4.56±0.12	0.56±0.05	0.98±0.08	0.52±0.04	18.15±1.56	0.82±0.05		2.26±0.51	
							(1.00±0.04)			
P491										
S492	3.24±0.12	10.20±0.31	0.57±0.06	2.65±0.33	0.63±0.07	21.53±2.63	1.00±0.03	5.32±0.32	2.26±0.93	
L493	2.57±0.13	5.23±0.41	0.08±0.01	1.18±0.04	0.46±0.06	36.66±2.56	0.69±0.05	0.97±0.43	0.70±0.33	
V494	1.35±0.07	3.61±0.26	0.12±0.01	1.12±0.89	0.36±0.24	18.43±12.25	0.41±0.02	1.00±0.31	0.05±0.004	
S495	3.23±0.09	6.89±0.13	0.54±0.04	1.62±0.13	0.62±0.05	22.91±1.82	1.00±0.02	1.95±0.16	1.24±0.93	
F496	3.12±0.10	5.76±0.13	0.53±0.04	1.28±0.10	0.60±0.04	22.31±1.67	1.00±0.04	0.87±0.18	2.26±1.02	

L497	3.36±0.10	5.55±0.14	0.70±0.04	1.18±0.09	0.67±0.05	15.39±1.12	1.00±0.03	0.89±0.18	0.65±0.01	
T498	1.70±0.19	3.92±0.54	0.67±0.14	0.94±0.54	0.33±0.19	8.50±4.80	0.61±0.05			
G499	3.28±0.26	10.36±1.07	0.43±0.18	2.68±1.98	0.62±0.27	28.92±12.41	1.00±0.05	4.78±1.14		
L500	3.28±0.48	6.89±0.22	0.42±0.015	1.60±0.12	0.62±0.12	29.16±6.35	1.00±0.05	1.88±0.36	1.76±0.95	
G501	3.15±0.12	8.63±0.35	0.092±0.006	2.15±0.22	0.64±0.14	44.23±1.50	0.69±0.05	4.36±0.35	0.69±0.30	
C502	2.88±0.09	8.54±0.38	0.28±0.09	2.18±1.24	0.54±0.34	32.15±4.56	0.77±0.09	3.57±0.43	2.26±0.98	
P503										
N504	3.22±0.08	5.73±0.16	0.72±0.05	1.27±0.10	0.64±0.05	13.08±1.05	1.00±0.03	0.81±0.71	2.26±0.98	
C505	2.97±0.11	10.35±0.17	0.15±0.07	2.72±1.28	0.54±0.25	38.93±18.25	0.47±0.14	5.18±0.67	2.26±0.82	
I506	3.07±0.17	10.98±0.77	0.28±0.09	2.91±0.99	0.57±0.19	34.16±11.39	0.86±0.07	6.03±0.86	0.68±0.56	
E507	2.47±0.05	4.20±0.06	0.49±0.05	0.90±0.09	0.47±0.05	19.12±1.88	0.87±0.07		2.26±0.70	
						(0.94±0.02)				
Y508	2.89±0.08	5.94±0.11	0.62±0.15	1.38±0.78	0.57±0.02	16.64±6.56	1.00±0.11	1.08±0.25	2.26±0.92	
F509	3.22±0.17	9.27±1.36	0.59±0.14	2.36±0.10	0.63±0.03	20.15±2.34	1.00±0.03	3.36±1.32		
T510	3.35±0.20	6.85±0.14	0.51±0.09	1.58±0.90	0.65±0.16	25.15±4.10	1.00±0.07	2.06±0.24	0.89±0.64	-397 ± 100

S511	2.71±0.01	5.20±0.10	0.58±0.05	1.18±0.11	0.53±0.05	17.31±1.67	0.91±0.04		2.26±0.60
	(1.00±0.07)								
Q512	3.01±0.10	8.96±0.37	0.16±0.05	2.28±0.05	0.55±0.38	39.05±1.82	0.91±0.05	4.58±0.38	0.70±0.53
G513	3.05±0.14	5.37±0.13	0.60±0.15	1.17±0.67	0.60±0.26	18.61±2.12	1.00±0.05	0.46±0.33	0.99±0.32
L514									
Q515	3.08±0.08	6.13±0.12	0.43±0.05	1.40±0.17	0.59±0.07	26.93±3.34	1.00±0.02	1.35±0.15	1.00±0.82
S516	3.12±0.08	6.87±0.22	0.45±0.04	1.62±0.19	0.59±0.06	26.55±2.99	0.26±0.03		2.26±0.12
	(1.00±0.23)								
I517	0.54±0.05	2.45±0.11	0.76±0.09	0.84±0.68	0.13±0.11	2.42±1.96	0.23±0.01		
Y518									
H519									
L520									
Q521	2.73±0.25	11.38±1.92	0.44±0.12	3.15±1.51	0.52±0.24	23.42±10.85	1.00±0.14	6.30±1.92	1.31±0.99
N522									
L523									
T524	2.87±0.09	7.00±0.16	0.36±0.04	1.70±0.10	0.68±0.54	28.34±3.52	0.88±0.04	1.98±0.19	0.70±0.47

I525	0.70 ± 0.11	1.42 ± 0.30	0.32 ± 0.02	0.40 ± 0.32	0.18 ± 0.13	9.74 ± 7.42	1.00 ± 0.34		2.28 ± 0.94	
	(0.26 ± 0.03)									
E526	0.61 ± 0.06	2.35 ± 0.26	0.15 ± 0.01	0.63 ± 0.50	0.13 ± 0.10	8.07 ± 5.07	0.21 ± 0.02	1.20 ± 0.01	0.0009 ± 0.0001	
D527	2.76 ± 0.05	5.33 ± 0.14	0.71 ± 0.03	1.21 ± 0.08	0.55 ± 0.03	12.23 ± 0.69	1.00 ± 0.09		2.26 ± 0.97	
	(0.91 ± 0.03)									
L528	3.11 ± 0.14	8.75 ± 0.38	0.25 ± 0.05	2.20 ± 0.48	0.58 ± 0.12	35.57 ± 7.72	1.00 ± 0.06	2.89 ± 0.44	2.26 ± 0.97	
G529	3.07 ± 0.09	5.50 ± 0.15	0.55 ± 0.03	1.21 ± 0.09	0.62 ± 0.04	21.14 ± 1.46	1.00 ± 0.01			
A530	1.73 ± 0.05	3.93 ± 0.123	0.52 ± 0.03	0.94 ± 0.08	0.33 ± 0.02	12.61 ± 0.76	0.61 ± 0.13			
L531										
K532	3.26 ± 0.14	10.61 ± 0.09	0.51 ± 0.15	2.72 ± 0.06	0.63 ± 0.08	24.48 ± 0.75	1.00 ± 0.16	5.01 ± 0.48	0.97 ± 0.39	
I533	3.17 ± 0.13	5.41 ± 0.06	0.68 ± 0.04	1.18 ± 0.08	0.63 ± 0.04	15.44 ± 1.21	0.99 ± 0.01			
P534										
E535	2.70 ± 0.12	8.29 ± 0.87	0.72 ± 0.03	2.15 ± 1.06	0.54 ± 0.26	11.39 ± 5.46	1.00 ± 0.23			
Q536	3.26 ± 0.08	6.71 ± 0.29	0.56 ± 0.09	1.56 ± 0.26	0.63 ± 0.10	21.81 ± 3.61	1.00 ± 0.10	1.77 ± 0.36	2.26 ± 0.94	-243 ± 24
Y537	3.14 ± 0.11	9.19 ± 0.30	0.16 ± 0.04	2.33 ± 0.10	0.57 ± 0.08	40.96 ± 4.65	0.87 ± 0.07	4.64 ± 0.33	2.26 ± 1.02	
R538										

M539	3.28 ± 0.10	6.21 ± 0.16	0.70 ± 0.05	1.42 ± 0.12	0.65 ± 0.08	14.83 ± 1.30	1.00 ± 0.02	1.09 ± 0.19	2.26 ± 0.96
T540	2.80 ± 0.08	3.63 ± 0.15	0.53 ± 0.19	0.67 ± 0.13	0.54 ± 0.11	20.23 ± 0.34	0.40 ± 0.09		2.26 ± 0.43
I541	1.98 ± 0.21	5.15 ± 0.87	0.32 ± 0.09	1.27 ± 1.11	0.37 ± 0.35	20.96 ± 5.15	0.68 ± 0.06		0.07 ± 0.06
W542	3.17 ± 0.32	5.06 ± 0.12	0.67 ± 0.09	1.06 ± 0.15	0.63 ± 0.08	16.21 ± 2.26	0.91 ± 0.02		213 ± 72
R543	3.22 ± 0.09	5.27 ± 0.06	0.63 ± 0.04	1.12 ± 0.08	0.63 ± 0.05	18.29 ± 1.21	1.00 ± 0.02	0.14 ± 0.10	1.21 ± 0.97
G544	1.53 ± 0.20	2.88 ± 0.73	0.10 ± 0.06	0.63 ± 0.45	0.27 ± 0.20	21.43 ± 0.24	0.48 ± 0.05		0.06 ± 0.01
L545	0.79 ± 0.11	3.51 ± 0.32	0.65 ± 0.14	1.33 ± 0.97	0.22 ± 0.15	4.29 ± 1.14	0.28 ± 0.04	1.36 ± 0.42	
Q546									
D547	2.54 ± 0.06	3.44 ± 0.08	0.57 ± 0.04	0.65 ± 0.05	0.49 ± 0.04	16.8 ± 1.37	0.71 ± 0.05		2.26 ± 0.36
							(0.84 ± 0.02)		
L548	3.17 ± 0.10	8.91 ± 0.35	0.33 ± 0.03	2.24 ± 0.22	0.59 ± 0.05	32.71 ± 3.04	0.72 ± 0.08	4.07 ± 0.39	2.26 ± 0.93
K549	3.19 ± 0.12	9.22 ± 0.20	0.35 ± 0.05	2.34 ± 0.33	0.60 ± 0.08	31.98 ± 4.49	0.77 ± 0.07	4.11 ± 0.27	2.26 ± 0.99
Q550									
G551	1.66 ± 0.44	6.49 ± 0.31	0.19 ± 0.09	1.74 ± 0.08	0.30 ± 0.14	20.81 ± 9.77	0.67 ± 0.17	2.95 ± 1.00	
H552									

D553	2.43±0.02	5.07±0.11	0.49±0.04	1.18±0.10	0.47±0.04	18.98±1.55	0.68±0.03	2.26±0.27
	(0.92±0.12)							
Y554	1.03±0.08	10.61±0.66	0.76±0.08	3.15±0.49	0.20±0.03	3.82±0.54	0.36±0.03	8.46±0.66
W542 (NH)	2.28±0.30	10.53±1.84	0.27±0.11	3.39±1.34	0.50±0.18	25.71±11.23		

^aErrors are fitting errors to the corresponding equations (see Materials and Methods).

^bErrors are determined by the noise level from two different experiments.

^cErrors are determined by error propagation ³⁶.

^dErrors are from Monte Carlo simulations.

^eObtained from the slope of a straight line of the S_{conf} *versus* $\ln(T)$.

Table 5: Experimental relaxation parameters, the reduced spectral density functions and the model-free parameters of SAMp73 at pH 7.0, 298 K and 1 M GdmCl.

Residue	R_1 (s^{-1}) ^a	R_2 (s^{-1}) ^a	NOE ^c	$J(0)$ (ns rad^{-1}) ^b	$J(\omega_N)$ (ns rad^{-1}) ^b	$J(0.87\omega_H)$ (ps rad^{-1}) ^b	$S^2 (S_f^2)$ ^d	R_{ex} (s^{-1}) ^d	τ_e (ns) ^d
Y487	2.16±0.07	5.34±0.14	0.36±0.04	1.31±0.17	0.41±0.05	21.38±2.37	0.17±0.02	2.75±0.19	3.00±0.23
H488	2.30±0.08	7.24±0.21	0.66±0.06	1.90±0.19	0.46±0.04	12.11±1.20	0.86±0.19		
A489	2.14±0.04	5.73±0.10	0.44±0.05	1.45±0.16	0.41±0.04	18.49±2.09	0.69±0.03 (0.86±0.02)		1.17±0.22
D490	2.75±0.22	8.16±0.10	0.72±0.05	2.11±0.24	0.55±0.06	11.76±1.37	1.00±0.01		
P491									
S492	2.74±0.10	10.17±0.32	0.71±0.04	2.75±0.19	0.55±0.03	12.12±0.77	1.00±0.02		
L493	2.87±0.14	8.43±0.20	0.64±0.10	2.18±0.38	0.57±0.12	16.02±2.81	1.00±0.03		
V494	2.75±0.12	9.25±0.31	0.49±0.05	2.45±0.30	0.53±0.06	21.66±2.60	0.39±0.20	3.80±0.79	2.60±0.69
S495	2.21±0.07	7.61±0.15	0.61±0.04	2.03±0.16	0.43±0.03	13.17±1.06	0.79±0.03	1.06±0.25	0.06±0.02
F496	2.86±0.12	8.90±0.20	0.69±0.08	2.33±0.28	0.57±0.06	13.66±1.66	0.55±0.20	1.99±0.80	5.26±1.14
L497	2.65±0.10	8.42±0.06	0.75±0.03	2.22±0.12	0.53±0.03	10.07±0.56	1.00±0.01		
T498	2.68±0.12	8.09±0.18	0.71±0.06	2.10±0.19	0.54±0.05	12.08±1.06	0.98±0.01		

G499	2.78 ± 0.13	7.97 ± 0.11	0.72 ± 0.06	2.05 ± 0.19	0.56 ± 0.05	12.18 ± 1.15	0.96 ± 0.10		
L500	2.71 ± 0.10	8.31 ± 0.34	0.67 ± 0.05	2.17 ± 0.21	0.54 ± 0.05	13.92 ± 1.28	1.00 ± 0.01		
G501	2.63 ± 0.09	8.28 ± 0.14	0.72 ± 0.06	2.17 ± 0.19	0.53 ± 0.04	11.47 ± 1.01	1.00 ± 0.01		
C502	2.43 ± 0.10	7.20 ± 0.11	0.66 ± 0.04	1.86 ± 0.14	0.48 ± 0.03	12.86 ± 0.94	0.88 ± 0.01		0.24 ± 0.09
P503									
N504	2.80 ± 0.21	7.73 ± 0.12	0.72 ± 0.05	1.97 ± 0.21	0.56 ± 0.06	12.02 ± 1.30	0.94 ± 0.01		
C505	2.48 ± 0.11	8.16 ± 0.11	0.72 ± 0.05	2.16 ± 0.17	0.49 ± 0.04	10.56 ± 0.86	0.98 ± 0.01		
I506	2.55 ± 0.10	7.18 ± 0.10	0.66 ± 0.04	1.84 ± 0.13	0.50 ± 0.03	13.16 ± 0.95	0.88 ± 0.01		0.20 ± 0.09
E507	1.00 ± 0.41	3.09 ± 0.10	0.21 ± 0.04	0.80 ± 0.36	0.18 ± 0.08	12.30 ± 0.56	0.35 ± 0.01		0.04 ± 0.01
Y508	2.54 ± 0.08	8.64 ± 0.15	0.72 ± 0.05	2.30 ± 0.17	0.51 ± 0.03	10.80 ± 0.79	1.00 ± 0.01		
F509	2.72 ± 0.11	8.07 ± 0.22	0.68 ± 0.05	2.09 ± 0.18	0.54 ± 0.04	13.31 ± 1.09	1.00 ± 0.01		
T510	2.99 ± 0.11	8.75 ± 0.21	0.66 ± 0.05	2.26 ± 0.12	0.59 ± 0.05	15.61 ± 1.41	0.38 ± 0.19	2.60 ± 0.63	5.26 ± 0.27
S511	2.56 ± 0.13	9.52 ± 0.20	0.67 ± 0.05	2.57 ± 0.23	0.51 ± 0.04	13.18 ± 1.17	0.96 ± 0.04	1.51 ± 0.44	
Q512	2.70 ± 0.13	7.77 ± 0.28	0.57 ± 0.05	1.99 ± 0.21	0.53 ± 0.05	18.01 ± 1.86	0.88 ± 0.04		0.70 ± 0.64
G513	2.60 ± 0.10	7.72 ± 0.09	0.65 ± 0.05	2.00 ± 0.17	0.51 ± 0.04	14.25 ± 1.21	0.90 ± 0.02		1.09 ± 0.87
L514	2.66 ± 0.09	8.23 ± 0.11	0.64 ± 0.05	2.15 ± 0.19	0.53 ± 0.04	14.77 ± 1.29	0.88 ± 0.11	0.89 ± 0.44	1.24 ± 1.16

Q515	2.36±0.11	6.49±0.15	0.56±0.04	1.65±1.48	0.46±0.04	15.97±1.38	0.78±0.01	0.009±0.002	
S516	2.36±0.13	7.68±0.83	0.72±0.05	2.05±0.55	0.55±0.12	10.80±0.79	0.88±0.04		
I517	1.58±0.03	2.97±0.06	0.10±0.03	0.68±0.17	0.29±0.07	22.12±5.93	0.36±0.03 (0.66±0.12)	1.26±0.08	
Y518									
H519	2.59±0.09	8.01±0.08	0.58±0.05	2.09±0.19	0.51±0.04	16.74±1.55	0.88±0.09	1.04±0.34	0.72±0.29
L520	2.93±0.14	10.10±0.40	0.31±0.04	2.67±0.41	0.55±0.08	31.09±4.63	0.16±0.08	6.38±0.57	2.61±0.83
Q521	2.19±0.08	8.61±0.12	0.48±0.04	2.34±0.21	0.42±0.04	17.63±1.60	0.78±0.03	1.77±0.28	0.13±0.07
N522	1.63±0.04	3.66±0.11	0.03±0.02	1.19±0.86	0.41±0.29	25.08±3.47	0.47±0.04 (0.72±0.02)		0.95±0.09
L523									
T524	2.66±0.23	7.54±0.13	0.68±0.05	1.93±0.22	0.53±0.06	13.14±1.50	0.90±0.01		
I525	2.55±0.10	7.48±0.16	0.73±0.08	1.94±0.23	0.51±0.06	10.34±1.25	0.91±0.02		
E526	2.31±0.07	6.48±0.22	0.69±0.06	1.66±0.17	0.46±0.04	11.01±1.11	0.82±0.02		
D527	2.60±0.13	9.38±0.38	0.79±0.05	2.53±0.22	0.52±0.04	8.17±0.62	0.96±0.04	1.49±0.52	
L528	2.53±0.09	8.46±0.16	0.68±0.05	2.24±0.18	0.50±0.04	12.37±1.00	1.00±0.01		
G529	2.47±0.14	7.69±0.23	0.91±0.05	2.02±0.17	0.51±0.04	3.50±0.29	1.10±0.07 (0.89±0.04)		5.26±2.21
A530	2.45±0.09	10.56±0.23	0.74±0.05	2.92±0.22	0.49±0.03	9.77±0.72	0.90±0.03	3.21±0.34	

L531	2.46±0.09	7.94±0.09	0.69±0.05	2.09±0.17	0.49±0.04	11.67±0.95	0.95±0.01		
K532	2.58±0.09	17.53±0.40	0.61±0.06	5.09±0.56	0.51±0.05	15.64±1.70	0.89±0.11	9.96±0.64	0.99±0.65
I533	2.50±0.13	7.04±0.24	0.85±0.05	1.81±0.16	0.51±0.04	5.77±0.47	0.89±0.02		
P534									
E535	2.86±0.21	7.94±0.10	0.68±0.06	2.03±0.26	0.57±0.06	14.01±1.55	0.98±0.01		
Q536	2.87±0.20	8.02±0.10	0.74±0.04	2.05±0.19	0.58±0.05	11.18±1.09	0.94±0.01		
Y537	2.69±0.11	8.60±0.07	0.52±0.04	2.25±0.20	0.52±0.05	19.90±1.78	0.48±0.16	2.59±0.63	2.52±0.64
R538	2.57±0.12	8.41±0.12	0.68±0.05	2.22±0.21	0.51±0.04	12.70±1.19	0.94±0.04	0.79±0.36	
M539	2.98±0.23	11.73±0.25	0.79±0.08	3.20±0.42	0.60±0.08	9.74±1.28	0.88±0.20	4.00±0.66	5.26±2.21
T540	2.63±0.14	8.23±0.11	0.73±0.05	2.16±0.20	0.53±0.04	10.84±1.00	1.00±0.02		
I541	2.01±0.07	4.42±0.10	0.17±0.04	1.04±0.25	0.37±0.09	25.95±6.36	0.50±0.04 (0.84±0.02)		1.09±0.13
W542	2.39±0.16	7.35±0.28	0.62±0.05	1.91±0.22	0.47±0.05	14.05±1.54	0.88±0.04		0.76±0.14
R543	2.83±0.27	8.52±0.21	0.71±0.06	2.22±0.29	0.56±0.07	12.43±1.62	1.00±0.02		
G544	2.59±0.11	8.21±0.11	0.74±0.06	2.16±0.17	0.52±0.04	10.22±0.80	1.00±0.01		
L545	2.49±0.14	6.94±0.30	0.65±0.05	1.77±0.18	0.49±0.04	13.54±1.02	0.87±0.03		
Q546									

D547	2.28±0.04	7.42±0.18	0.26±0.02	1.94±0.19	0.43±0.04	26.06±2.55	0.72±0.01	1.32±0.20	0.26±0.02
L548	2.51±0.11	6.33±0.39	0.92±0.06	1.59±0.17	0.52±0.04	2.98±0.27	0.86±0.11 (0.87±0.04)		5.26±2.05
K549	2.61±0.11	6.75±0.05	0.78±0.06	1.70±0.15	0.53±0.05	8.69±0.79	0.76±0.07 (0.91±0.03)		5.26±1.49
Q550									
G551	1.96±0.03	4.58±0.08	0.09±0.02	1.09±0.33	0.35±0.10	27.76±8.41	0.57±0.02 (0.85±0.01)		0.73±0.08
H552	1.80±0.12	12.42±0.96	0.12±0.10	3.75±3.06	0.33±0.31	24.45±23.56	0.57±0.03	7.35±0.98	0.12±0.03
D553	1.56±0.07	5.61±0.18	0.24±0.04	1.49±0.29	0.29±0.05	18.43±3.57	0.50±0.03	1.42±0.25	0.07±0.01
Y554	1.13±0.02	2.32±0.03	0.24±0.01	0.53±0.04	2.13±0.18	13.45±1.15	0.47±0.02 (0.46±0.07)		1.30±0.06
W542 (NH)	2.36±0.21	6.27±0.10	0.52±0.03	1.85±0.17	0.54±0.05	17.41±1.93			

^aErrors are fitting errors to the corresponding equations (see Materials and Methods).

^bErrors are determined by error propagation ³⁶.

^cErrors are determined by the noise level from two different experiments.

^dErrors are from Monte Carlo simulations.

Table 6: Experimental relaxation parameters, the reduced spectral density functions and the model-free parameters of SAMp73 at pH 7.0, 298 K and 0.5 M GdmCl.

Residue	R_1 (s^{-1}) ^a	R_2 (s^{-1}) ^a	NOE ^b	$J(0)$ (ns) rad ⁻¹) ^c	$J(\omega_N)$ (ns) rad ⁻¹) ^c	$J(0.87\omega_H)$ (ps) rad ⁻¹) ^c	$S^2(S_f^2)$ ^d	R_{ex} (s^{-1}) ^d	τ_e (ns) ^d	m_{s_i} (cal mol ⁻¹ K ⁻¹ M ⁻¹) ^{a,e}
Y487	2.01±0.03	7.56±0.06	0.32±0.03	2.03±0.22	0.38±0.04	21.06±2.30	0.21±0.01	5.63±0.09	2.45±0.10	
H488	1.97±0.05	9.81±0.17	0.74±0.08	2.76±0.30	0.39±0.04	7.71±0.83	0.91±0.01			
A489	1.95±0.05	8.12±0.13	0.44±0.05	2.22±0.25	0.37±0.04	17.08±1.95	0.75±0.02		0.98±0.16	
						(0.92±0.02)				
D490	2.15±0.05	11.17±0.17	0.71±0.05	3.16±0.23	0.43±0.03	9.65±0.78	0.96±0.02	1.02±0.30		
P491										
S492	2.40±0.07	15.79±0.20	0.56±0.03	4.56±0.28	0.47±0.03	16.49±1.00	0.64±0.07	7.95±0.47	1.98±0.30	
L493	2.39±0.09	11.44±0.37	0.79±0.13	3.21±0.55	0.48±0.08	7.62±1.29	0.83±0.11	1.77±0.78	7.38±2.58	-6.79±1.90
V494	2.36±0.09	13.24±0.16	0.32±0.17	3.76±0.88	0.45±0.10	24.95±5.84	0.42±0.19	7.12±1.45	1.59±0.41	
S495	2.23±0.06	10.64±0.12	0.69±0.05	2.98±0.25	0.44±0.04	10.84±0.91	0.93±0.05	0.88±0.37	0.99±0.90	
F496	2.38±0.08	11.26±0.51	0.84±0.08	3.14±0.35	0.49±0.05	5.76±0.59	1.00±0.01			

L497	2.29 ± 0.07	12.49 ± 0.14	0.56 ± 0.03	3.54 ± 0.21	0.45 ± 0.03	15.36 ± 0.89	0.73 ± 0.07	4.08 ± 0.50	1.57 ± 0.39	
T498	2.26 ± 0.06	10.65 ± 0.24	0.76 ± 0.06	2.98 ± 0.25	0.45 ± 0.04	8.21 ± 0.68	1.00 ± 0.01			-6.79 ± 2.84
G499	2.48 ± 0.09	11.4 ± 0.12	0.64 ± 0.05	3.20 ± 0.30	0.49 ± 0.05	13.68 ± 1.30	0.66 ± 0.09	3.13 ± 0.60	2.79 ± 1.04	
L500	2.23 ± 0.09	17.21 ± 0.58	0.21 ± 0.04	5.03 ± 1.19	0.41 ± 0.09	27.25 ± 6.39	0.43 ± 0.10	11.05 ± 0.92	1.33 ± 0.21	
G501	2.30 ± 0.08	12.28 ± 0.15	0.47 ± 0.05	3.47 ± 0.36	0.44 ± 0.05	18.91 ± 1.99	0.62 ± 0.09	4.62 ± 0.65	1.56 ± 0.33	
C502	2.11 ± 0.05	10.73 ± 0.16	0.56 ± 0.04	3.02 ± 0.23	0.41 ± 0.03	14.44 ± 1.10	0.88 ± 0.02	1.34 ± 0.28	0.26 ± 0.25	
P503										
N504	2.22 ± 0.06	10.36 ± 0.18	0.83 ± 0.05	2.90 ± 0.21	0.45 ± 0.03	5.82 ± 0.42	0.98 ± 0.01			
C505	2.21 ± 0.06	10.89 ± 0.15	0.58 ± 0.04	3.06 ± 0.24	0.43 ± 0.03	14.32 ± 1.12	0.78 ± 0.06	1.86 ± 0.48	1.44 ± 0.40	
I506	2.20 ± 0.06	10.07 ± 0.14	0.65 ± 0.04	2.80 ± 0.20	0.43 ± 0.03	11.84 ± 0.84	0.94 ± 0.01		0.51 ± 0.39	
E507	0.929 ± 0.07	4.13 ± 0.05	0.13 ± 0.04	1.13 ± 0.34	0.17 ± 0.05	12.56 ± 3.76	0.38 ± 0.01		0.044 ± 0.001	
Y508	2.30 ± 0.07	13.77 ± 0.30	0.28 ± 0.04	3.93 ± 0.58	0.43 ± 0.06	25.68 ± 3.80	0.42 ± 0.08	7.57 ± 0.56	1.50 ± 0.15	
F509	2.45 ± 0.08	11.74 ± 0.88	0.43 ± 0.04	3.27 ± 0.42	0.47 ± 0.05	21.69 ± 2.26	0.44 ± 0.08	5.23 ± 0.96	1.92 ± 0.19	
T510	2.48 ± 0.07	12.41 ± 0.17	0.61 ± 0.05	3.49 ± 0.34	0.49 ± 0.05	14.91 ± 1.45	0.62 ± 0.08	4.51 ± 0.60	2.49 ± 0.58	0.68 ± 0.39
S511	2.27 ± 0.07	14.07 ± 0.24	0.48 ± 0.05	4.04 ± 0.41	0.44 ± 0.05	18.34 ± 1.86	0.67 ± 0.08	6.16 ± 0.61	1.44 ± 0.31	
Q512	2.29 ± 0.08	15.57 ± 0.40	0.23 ± 0.07	4.50 ± 1.36	0.42 ± 0.12	27.39 ± 8.26	0.38 ± 0.10	9.68 ± 0.86	1.47 ± 0.16	

G513	2.27±0.06	11.67±0.30	0.41±0.04	3.28±0.38	0.43±0.05	20.62±2.38	0.60±0.07	4.29±0.57	1.41±0.21
L514	2.32±0.08	12.64±0.19	0.38±0.05	3.58±0.46	0.44±0.05	22.09±2.81	0.51±0.09	5.80±0.66	1.56±0.21
Q515	2.40±0.08	10.62±0.14	0.64±0.05	2.94±0.25	0.47±0.04	13.20±1.13	0.69±0.08	2.07±0.55	2.46±0.73
S516	2.09±0.05	10.43±0.12	0.74±0.05	2.94±0.22	0.42±0.03	8.51±0.64	0.97±0.01		
I517	1.59±0.05	4.16±0.05	0.04±0.02	1.03±0.59	0.28±0.16	23.71±13.76	0.39±0.02		1.11±0.04
							(0.74±0.01)		0.36±0.23
Y518									
H519	2.31±0.08	11.90±0.15	0.58±0.06	3.36±0.14	0.45±0.05	15.16±1.86	0.74±0.09	3.45±0.64	1.63±0.58
L520	2.57±0.13	16.24±1.02	0.34±0.11	4.67±1.62	0.48±0.16	26.12±8.92	0.23±0.06	11.18±1.47	2.01±0.29
Q521	1.96±0.04	11.8±0.32	0.36±0.03	3.40±0.33	0.37±0.03	19.33±1.79	0.80±0.01	2.96±0.33	2.69±0.09
N522	1.66±0.06	4.80±0.75	0.07±0.03	1.22±0.65	0.30±0.16	24.03±12.99	0.43±0.10		1.10±0.21
							(0.78±0.05)		
L523									
T524	2.07±0.05	10.52±0.11	0.68±0.05	2.97±0.23	0.41±0.03	10.19±0.80	0.96±0.01		2.78±2.03
I525	2.41±0.09	12.27±0.15	0.54±0.08	3.45±0.53	0.47±0.07	17.21±2.65	0.56±0.11	4.58±0.82	2.16±0.61
E526	2.10±0.06	9.56±0.24	0.74±0.07	2.66±0.28	0.42±0.04	8.51±0.87	0.92±0.01		

D527	2.20±0.08	12.55±0.24	0.78±0.04	3.59±0.25	0.44±0.03	7.55±0.50	1.00±0.02	1.68±0.45		
L528	2.17±0.06	11.61±0.18	0.74±0.05	3.30±0.24	0.43±0.03	8.53±0.61	1.05±0.01	0.77±0.35		
G529	2.22±0.08	10.16±0.14	0.83±0.03	2.84±0.15	0.45±0.02	5.77±0.30	0.96±0.01			
A530	2.21±0.06	13.72±0.25	0.85±0.05	3.96±0.26	0.45±0.03	4.97±0.31	0.97±0.02	3.00±0.37		
L531	2.27±0.08	13.11±0.16	0.41±0.05	3.74±0.39	0.43±0.04	20.70±2.16	0.55±0.07	5.71±0.56	1.56±0.21	
K532	2.27±0.06	19.82±0.66	0.43±0.06	5.85±0.90	0.43±0.06	20.09±3.02	0.58±0.07	12.27±0.84	1.55±0.19	
I533	2.18±0.06	9.72±0.18	0.81±0.03	2.70±0.14	0.44±0.02	6.43±0.32	0.94±0.14			
P534										
E535	2.27±0.06	10.89±0.18	0.67±0.06	3.05±0.29	0.45±0.04	11.43±1.09	0.84±0.07	1.52±0.53	1.77±1.20	
Q536	2.27±0.05	10.95±0.17	0.71±0.05	3.07±0.21	0.45±0.03	10.04±0.64	0.86±0.06	1.24±0.46	2.21±1.61	
Y537	2.34±0.08	13.77±0.44	0.21±0.04	3.92±0.89	0.43±0.09	28.71±6.44	0.30±0.08	8.37±0.72	1.56±0.12	
R538	2.28±0.08	13.46±0.43	0.14±0.04	3.83±1.31	0.42±0.14	30.30±10.31	0.33±0.10	8.19±0.82	1.38±0.17	
M539	2.41±0.08	15.49±0.37	0.86±0.08	4.48±0.46	0.49±0.05	5.18±0.52	0.83±0.09	5.87±0.65	7.38±2.27	-1.89±0.78
T540	2.36±0.08	12.43±0.20	0.56±0.05	3.50±0.34	0.46±0.04	15.91±1.55	0.66±0.09	4.39±0.63	1.87±0.38	
I541	1.94±0.05	6.49±0.12	0.29±0.04	1.70±0.26	0.35±0.05	21.52±3.33	0.59±0.02		1.11±0.10	0.79±0.35
							(0.89±0.19)			

W542	2.23 ± 0.06	9.83 ± 0.22	0.89 ± 0.09	2.73 ± 0.31	0.46 ± 0.05	3.61 ± 0.40	0.96 ± 0.02			5.28 ± 0.27
R543	2.36 ± 0.08	11.34 ± 0.12	0.76 ± 0.06	3.18 ± 0.29	0.47 ± 0.04	8.68 ± 0.79	0.87 ± 0.08	1.64 ± 0.50	4.46 ± 2.49	
G544	2.29 ± 0.07	11.43 ± 0.13	0.78 ± 0.05	3.22 ± 0.23	0.46 ± 0.03	7.82 ± 5.47	0.89 ± 0.06	1.25 ± 0.39	7.38 ± 2.34	
L545	2.08 ± 0.05	8.24 ± 0.30	0.11 ± 0.03	2.22 ± 0.63	0.38 ± 0.10	28.68 ± 8.04	0.55 ± 0.08	1.49 ± 0.62	0.89 ± 0.18	
Q546										
D547	2.17 ± 0.07	7.25 ± 0.43	0.63 ± 0.09	1.92 ± 0.31	0.43 ± 0.06	12.28 ± 1.89	0.65 ± 0.07		2.57 ± 1.80	
								(0.88 ± 0.04)		
L548	2.20 ± 0.07	9.50 ± 0.16	0.86 ± 0.04	2.63 ± 0.15	0.45 ± 0.02	4.56 ± 0.24	0.87 ± 0.0		7.38 ± 2.34	-4.40 ± 2.68
								(0.94 ± 0.02)		
K549	2.37 ± 0.08	10.48 ± 0.10	0.64 ± 0.04	2.90 ± 0.24	0.47 ± 0.04	13.21 ± 1.09	0.74 ± 0.08	1.73 ± 0.51	2.31 ± 0.66	
Q550										
G551	1.83 ± 0.05	6.16 ± 0.09	0.14 ± 0.03	1.62 ± 0.35	0.33 ± 0.07	24.38 ± 5.24	0.59 ± 0.02		0.82 ± 0.07	0.30 ± 0.20
								(0.87 ± 0.02)		
H552	1.85 ± 0.03	8.41 ± 0.08	0.22 ± 0.06	2.32 ± 0.68	0.34 ± 0.10	22.49 ± 6.65	0.72 ± 0.02	0.40 ± 0.18	0.21 ± 0.03	
D553	1.52 ± 0.06	6.63 ± 0.06	0.26 ± 0.05	1.82 ± 0.04	0.28 ± 0.06	17.59 ± 3.86	0.61 ± 0.01		0.09 ± 0.01	
Y554	1.10 ± 0.04	6.21 ± 0.26	0.18 ± 0.02	1.76 ± 0.12	0.20 ± 0.02	13.99 ± 1.58	0.42 ± 0.16	1.66 ± 0.29	0.048 ± 0.003	

W542 (NH) 1.70±0.03 8.99±0.10 0.60±0.04 2.98±0.17 0.36±0.02 10.45±0.68

^aErrors are fitting errors to the corresponding equations (see Materials and Methods).

^bErrors are determined by the noise level from two different experiments.

^cErrors are determined by error propagation ³⁶.

^dErrors are from Monte Carlo simulations.

^eObtained from the slope of a straight line of the S_{conf} *versus* [GdmCl].

Table 7: Experimental relaxation parameters, the reduced spectral density functions and the model-free parameters of SAMp73 at pH 7.0, 298 K and 0.25 M GdmCl.

Residue	R_1 (s^{-1}) ^a	R_2 (s^{-1}) ^a	NOE ^b	$J(0)$ (ns rad^{-1}) ^c	$J(\omega_N)$ (ns rad^{-1}) ^c	$J(0.87\omega_H)$ (ps rad^{-1}) ^c	$S^2 (S_f^2)$ ^d	R_{ex} (s^{-1}) ^d	τ_e (ns) ^d
Y487	2.01±0.03	8.03±0.10	0.40±0.02	2.18±0.19	0.38±0.02	18.79±0.99	0.23±0.01	6.18±0.12	2.73±0.01
H488	2.02±0.05	10.42±0.16	0.76±0.09	2.95±0.15	0.41±0.02	7.60±0.39	0.93±0.01		
A489	1.91±0.02	8.84±0.09	0.46±0.02	2.45±0.13	0.37±0.19	16.15±0.86	0.78±0.01(0.94±0.01)		0.91±0.07
D490	2.16±0.16	12.54±0.17	0.74±0.03	3.59±0.18	0.43±0.22	8.58±0.43	0.90±0.09	1.99±0.53	2.35±2.30
P491									
S492	2.34±0.07	15.08±0.26	0.75±0.01	4.36±0.19	0.47±0.02	10.07±0.39	0.80±0.08	5.24±0.72	4.61±2.57
L493	2.37±0.08	12.36±0.32	0.86±0.6	3.50±0.27	0.48±0.04	5.28±0.39	0.74±0.08	2.42±0.58	7.94±2.23
V494	2.25±0.06	12.41±0.28	0.59±0.03	3.53±0.23	0.44±0.28	14.21±0.89	0.73±0.05	3.50±0.46	1.74±0.29
S495	2.20±0.05	10.54±0.14	0.64±0.02	2.98±0.14	0.40±0.02	11.43±0.53	0.83±0.04	0.92±0.33	1.62±0.39
F496	2.31±0.10	12.82±0.26	0.86±0.03	3.67±0.24	0.47±0.03	4.97±0.31	0.88±0.08	2.20±0.47	7.94±2.78
L497	2.26±0.07	12.80±0.06	0.69±0.01	3.65±0.14	0.45±0.02	10.72±0.42	0.81±0.05	3.13±0.34	2.32±0.58
T498	2.25±0.06	11.30±0.34	0.71±0.03	3.18±0.18	0.45±0.02	9.97±0.50	0.84±0.05	1.44±0.49	2.41±1.00

G499	2.38 ± 0.08	12.39 ± 0.14	0.66 ± 0.03	3.50 ± 0.19	0.47 ± 0.03	12.37 ± 0.68	0.69 ± 0.07	3.49 ± 0.44	2.71 ± 0.57
L500	2.13 ± 0.06	12.73 ± 0.15	0.48 ± 0.02	3.64 ± 0.23	0.41 ± 0.03	17.13 ± 1.07	0.71 ± 0.06	3.91 ± 0.45	1.26 ± 0.26
G501	2.25 ± 0.07	12.53 ± 0.15	0.64 ± 0.02	3.57 ± 0.18	0.45 ± 0.02	12.45 ± 0.64	0.76 ± 0.05	3.21 ± 0.40	2.00 ± 0.40
C502	2.05 ± 0.05	11.06 ± 0.10	0.65 ± 0.02	3.14 ± 0.14	0.41 ± 0.02	11.09 ± 0.50	0.92 ± 0.02	0.74 ± 0.22	0.36 ± 0.24
P503									
N504	2.16 ± 0.06	11.60 ± 0.13	0.74 ± 0.02	3.29 ± 0.15	0.44 ± 0.02	8.60 ± 0.39	0.90 ± 0.04	1.03 ± 0.31	2.42 ± 1.23
C505	2.15 ± 0.06	12.11 ± 0.16	0.65 ± 0.02	3.45 ± 0.18	0.43 ± 0.02	11.76 ± 0.58	0.83 ± 0.05	2.19 ± 0.38	1.61 ± 0.48
I506	2.10 ± 0.06	11.17 ± 0.16	0.76 ± 0.03	3.17 ± 0.16	0.42 ± 0.02	7.85 ± 0.39	0.99 ± 0.08		
E507	1.13 ± 0.03	4.36 ± 0.08	0.17 ± 0.02	1.18 ± 0.13	0.21 ± 0.02	14.51 ± 1.62	0.62 ± 0.02 (0.56 ± 0.01)		0.81 ± 0.07
Y508	2.21 ± 0.06	12.62 ± 0.16	0.81 ± 0.02	3.61 ± 0.18	0.45 ± 0.02	6.44 ± 0.31	0.89 ± 0.05	1.84 ± 0.33	7.94 ± 2.50
F509	2.41 ± 0.09	11.47 ± 0.57	0.65 ± 0.03	3.21 ± 0.24	0.48 ± 0.03	12.99 ± 0.73	0.65 ± 0.07	2.76 ± 0.07	2.82 ± 0.05
T510	2.52 ± 0.09	12.89 ± 0.21	0.62 ± 0.03	3.64 ± 0.23	0.50 ± 0.03	14.69 ± 0.91	0.54 ± 0.04	4.95 ± 0.51	2.91 ± 0.04
S511	2.15 ± 0.09	14.23 ± 0.12	0.72 ± 0.03	4.12 ± 0.24	0.43 ± 0.02	9.26 ± 0.53	1.00 ± 0.02	3.01 ± 0.47	
Q512	2.27 ± 0.09	12.40 ± 0.15	0.51 ± 0.02	3.52 ± 0.23	0.44 ± 0.03	17.11 ± 1.10	0.61 ± 0.07	4.17 ± 0.55	1.79 ± 0.28
G513	2.21 ± 0.07	11.60 ± 0.18	0.67 ± 0.02	3.28 ± 0.18	0.44 ± 0.02	11.19 ± 0.58	0.83 ± 0.05	1.86 ± 0.39	1.88 ± 0.58
L514	2.25 ± 0.07	12.42 ± 0.12	0.68 ± 0.02	3.53 ± 0.18	0.45 ± 0.02	10.95 ± 0.56	0.78 ± 0.05	2.73 ± 0.37	2.38 ± 0.50

Q515	2.29 ± 0.10	11.91 ± 0.19	0.70 ± 0.02	3.37 ± 0.20	0.46 ± 0.03	10.48 ± 0.62	0.78 ± 0.08	2.24 ± 0.49	2.82 ± 0.83
S516	1.98 ± 0.08	11.65 ± 0.19	0.67 ± 0.02	3.34 ± 0.19	0.39 ± 0.02	10.15 ± 0.55	0.91 ± 0.03	1.37 ± 0.36	0.33 ± 0.13
I517	1.61 ± 0.03	4.30 ± 0.07	0.05 ± 0.01	1.06 ± 0.33	0.29 ± 0.09	23.90 ± 7.39	0.37 ± 0.01 (0.75 ± 0.01)		1.17 ± 0.02
Y518									
H519	2.18 ± 0.07	12.72 ± 0.15	0.60 ± 0.03	3.64 ± 0.21	0.43 ± 0.02	13.40 ± 0.78	0.78 ± 0.06	3.35 ± 0.46	1.52 ± 0.40
L520	2.49 ± 0.10	14.31 ± 0.23	0.33 ± 0.03	4.07 ± 0.45	0.47 ± 0.05	25.93 ± 2.85	0.27 ± 0.09	8.85 ± 0.68	1.88 ± 0.16
Q521	1.90 ± 0.03	10.02 ± 0.36	0.67 ± 0.03	2.84 ± 0.15	0.37 ± 0.01	9.75 ± 0.39	0.88 ± 0.01		0.09 ± 0.02
N522	1.70 ± 0.03	5.10 ± 0.09	0.08 ± 0.02	1.30 ± 0.34	0.31 ± 0.08	24.32 ± 6.42	0.42 ± 0.01 (0.81 ± 0.01)		1.15 ± 0.03
L523									
T524	2.04 ± 0.06	11.31 ± 0.16	0.73 ± 0.03	3.22 ± 0.17	0.41 ± 0.02	8.63 ± 0.43	0.98 ± 0.01		
I525	2.28 ± 0.08	12.10 ± 0.23	0.82 ± 0.04	3.43 ± 0.24	0.46 ± 0.03	6.18 ± 0.41	0.78 ± 0.07	1.65 ± 0.47	7.94 ± 2.14
E526	2.03 ± 0.05	10.28 ± 0.31	0.66 ± 0.03	2.90 ± 0.18	0.40 ± 0.02	10.72 ± 0.59	0.90 ± 0.02		0.92 ± 0.44
D527	2.36 ± 0.17	13.67 ± 0.95	0.71 ± 0.02	3.91 ± 0.41	0.47 ± 0.03	10.66 ± 0.84	0.72 ± 0.13	4.17 ± 1.18	3.61 ± 1.51
L528	2.16 ± 0.07	13.20 ± 0.19	0.80 ± 0.03	3.80 ± 0.21	0.43 ± 0.03	6.72 ± 0.35	0.89 ± 0.06	2.19 ± 0.37	7.94 ± 2.58
G529	2.10 ± 0.08	11.67 ± 0.15	0.86 ± 0.03	3.34 ± 0.16	0.44 ± 0.01	4.93 ± 0.31	1.00 ± 0.05	0.43 ± 0.25	5.83 ± 3.35
A530	2.11 ± 0.07	13.84 ± 0.40	0.74 ± 0.02	4.00 ± 0.21	0.42 ± 0.02	8.28 ± 0.38	0.94 ± 0.04	3.07 ± 0.46	1.44 ± 1.19

L531	2.11±0.07	12.81±0.08	0.55±0.02	3.68±0.18	0.41±0.02	14.67±0.73	0.76±0.05	3.36±0.43	1.35±0.35
K532	2.22±0.07	19.99±0.45	0.66±0.03	5.92±0.37	0.44±0.03	11.70±0.69	0.76±0.07	10.27±0.73	2.24±1.14
I533	2.08±0.09	11.36±0.20	0.80±0.08	3.24±0.18	0.43±0.02	6.72±0.49	1.00±0.10		
P534									
E535	2.24±0.05	11.78±0.18	0.67±0.02	3.34±0.16	0.45±0.02	11.31±0.54	0.80±0.04	2.17±0.33	2.09±0.35
Q536	2.19±0.04	11.91±0.17	0.72±0.02	3.38±0.13	0.44±0.02	9.46±0.36	0.86±0.03	1.65±0.24	2.35±0.65
Y537	2.27±0.08	12.87±0.09	0.61±0.03	3.67±0.23	0.45±0.03	13.73±0.87	0.69±0.06	3.81±0.46	2.13±0.35
R538	2.25±0.07	12.28±0.11	0.63±0.03	3.49±0.19	0.44±0.02	12.90±0.70	0.76±0.06	3.05±0.43	1.91±0.41
M539	2.33±0.09	16.41±0.31	0.87±0.04	4.78±0.31	0.48±0.03	4.44±0.28	0.84±0.05	6.13±0.51	7.99±2.38
T540	2.28±0.06	12.81±0.18	0.61±0.02	3.65±0.19	0.45±0.02	13.67±0.68	0.71±0.05	3.87±0.35	2.01±0.26
I541	1.97±0.05	6.82±0.10	0.21±0.02	1.80±0.22	0.36±0.04	24.33±3.03	0.55±0.02 (0.94±0.17)		1.07±0.05
W542	2.18±0.09	11.47±0.28	0.75±0.03	3.25±0.20	0.44±0.03	8.44±0.53	0.99±0.01		
R543	2.25±0.08	12.37±0.14	0.77±0.03	3.52±0.25	0.46±0.02	7.92±0.45	0.88±0.07	2.05±0.39	4.97±2.48
G544	2.23±0.07	12.44±0.13	0.79±0.02	3.55±0.17	0.45±0.02	7.11±0.33	0.86±0.06	1.81±0.35	7.94±2.28
L545	2.28±0.07	11.99±0.26	0.57±0.03	3.39±0.22	0.45±0.03	15.31±0.97	0.68±0.06	3.38±0.51	1.84±0.29
Q546									

D547	1.99±0.04	9.49±0.07	0.38±0.01	2.64±0.12	0.38±0.07	19.02±0.89	0.81±0.06	0.41±0.08
L548	2.14±0.09	9.48±0.20	0.48±0.03	2.67±0.14	0.46±0.02	17.13±1.07	0.78±0.02	1.57±0.67
K549	2.17±0.10	11.24±0.22	0.89±0.03	3.18±0.19	0.45±0.03	3.57±0.20	1.00±0.05	0.34±0.11
Q550								7.94±3.29
G551	1.84±0.02	6.28±0.09	0.16±0.01	24.01±2.59	0.34±0.03	1.65±0.18	0.54±0.02 (0.888±0.008)	1.02±0.03
H552	1.74±0.04	6.28±0.06	0.03±0.02	1.66±1.21	0.31±0.23	26.22±19.05	0.54±0.01 (0.88±0.01)	0.83±0.04
D553	1.49±0.04	5.15±0.07	0.15±0.02	1.36±0.17	0.27±0.03	19.68±2.45	0.54±0.02 (0.72±0.01)	0.98±0.05
Y554	1.13±0.01	3.43±0.03	0.18±0.01	0.88±0.05	0.21±0.01	14.47±0.85	0.54±0.02 (0.52±0.01)	0.98±0.05
W542 (NH)	1.69±0.03	9.94±0.16	0.65±0.02	3.33±0.12	0.39±0.01	9.22±0.39		

^aErrors are fitting errors to the corresponding equations (see Materials and Methods).

^bErrors are determined by the noise level from two different experiments.

^cErrors are determined by error propagation ³⁶.

^dErrors are from Monte Carlo simulations.

Table 8: Relaxation dispersion parameters of

SAMP73 at pH 7.0 and 298 K, 0 M GdmCl^c

Residue	R_2 ($1/\tau_{\text{cp}} \rightarrow \infty$) (s ⁻¹)	R_{ex} (s ⁻¹)
Y487	5.07±0.91	4.44±1.13
H488	7.31±0.58	4.41±0.88
A489	5.21±0.50	3.95±0.62
D490	6.69±0.73	4.36±1.08
P491		
S492	7.84±0.89	5.70±1.34
L493	7.57±0.92	4.83±1.93
V494	5.90±0.96	4.50±1.41
S495	7.49±0.71	4.37±1.01
F496	6.80±0.74	4.57±1.13
L497	6.39±1.79	4.07±1.82
T498	7.17±0.93	4.34±1.46
G499	6.41±0.65	3.82±0.97
L500 ^c	6.55±0.68	3.60±1.14
G501	[6.5] ^a	3.54±1.05
C502	6.08±0.56	4.12±1.00
P503		
N504	6.55±0.57	4.39±1.08
C505	6.01±0.60	4.34±0.97
I506	5.52±0.62	4.08±0.94

E507	6.86±0.88	8.75±1.69
Y508	5.95±0.53	3.81±0.93
F509 ^c	7.81±0.27	2.27±0.54
T510	8.87±2.01	7.76±2.82
S511	7.29±0.81	3.19±1.15
Q512 ^c	[6.5] ^a	3.90±1.34
G513	5.83±1.17	4.24±1.53
L514 ^c	6.51±0.77	3.93±1.19
Q515	7.69±0.78	3.36±1.54
S516	6.20±1.34	4.93±1.38
I517	3.15±0.34	3.33±0.43
Y518 ^b		
H519	6.45±0.32	4.09±0.53
L520	6.45±1.04	4.23±1.45
Q521 ^c	5.61±0.37	4.18±0.51
N522	[5.5] ^a	11.19±2.43
L523 ^b		
T524	6.76±0.56	4.41±0.92
I525	[7.0] ^a	4.48±1.95
E526	3.88±0.66	5.56±0.80
D527	5.41±1.26	2.76±2.13
L528	7.20±0.84	4.18±1.40
G529	5.84±0.31	4.78±0.51
A530	6.50±0.51	5.29±0.96
L531	6.47±0.93	4.20±1.32

K532 ^c	9.71±0.80	6.47±1.38
I533	5.51±0.62	4.93±0.87
P534		
E535	6.78±1.13	5.24±1.48
Q536	6.91±0.93	6.58±1.25
Y537	6.88±0.47	3.93±0.84
R538	6.43±0.76	4.20±1.18
M539	7.75±0.85	6.32±1.34
T540	6.37±0.84	4.39±1.06
I541	5.40±2.98	8.47±3.65
W542	[8.0] ^a	3.01±1.72
R543	6.87±0.68	4.34±1.11
G544	6.21±0.71	10.52±1.00
L545	6.53±0.58	4.34±0.84
Q546 ^b		
D547	4.78±0.64	3.75±0.75
L548	5.06±0.37	4.98±0.44
K549	4.77±1.97	4.99±1.86
Q550 ^b		
G551	4.38±0.40	4.08±0.52
H552	5.54±0.90	7.30±1.27
D553	4.40±0.33	5.93±0.99
Y554 ^c	[1.9] ^a	1.17±0.28
W542 (NH)	4.68±0.44	2.65±0.66

^aFitting was only possible when the R_2 ($1/\tau_{cp} \rightarrow \infty$)

was fixed to the value shown in brackets.

^b The variation in the intensity of the signals could

not be determined due to overlapping.

^cErrors are fitting errors to Eq. (7).